

Stichworte: Bekannte Angriffe auf das DL-Problem bei speziellen elliptischen Kurven, supersinguläre/anomale Kurven, Vergleich mit konventionellen Kryptoverfahren

§ 4 Sichere Kryptographie mit elliptischen Kurven

§ 4.1 Bekannte Angriffe auf das DL-Problem: Überblick

- 1.) Die Sicherheit des ElGamal- und ECDSA-Verfahrens beruht hier auf der Schwierigkeit des DL-Problems auf elliptischen Kurven.
Allerdings gibt es bestimmte Arten elliptischer Kurven, bei denen das DL-Problem algorithmisch schnell lösbar ist, so dass sich diese Kurven als kryptographisch schwach bzw. ungeeignet erweisen. Auch die Wahl eines Punktes P mit großer Ordnung ist wichtig.

4.1.1 BSGS und Silver-Pohlig-Hellman

Diese beiden Methoden eignen sich zur Lösung des DL-Problems in einer beliebigen abelschen Gruppe G .

- 2.) DL-Problem in G : Greg. sei $P \in G$ mit $\text{ord}(P) = m \in \mathbb{N}$, sowie $Q \in \langle P \rangle$.
Gesucht ist $k \in \{0, \dots, m-1\}$ mit $kP = Q$.
- 3.) BSGS (= "Baby steps giant steps"): Dieses Verfahren kommt in Frage, wenn P kleine Ordnung m hat. Dann kann das DL-Problem wie folgt gelöst werden; der Algorithmus hat einen Zeit- und Platzbedarf der Größenordnung $O(\sqrt{m})$:

4.) Vorbereitung:

Sei $m = \lceil \sqrt{m} \rceil = \min \{ l \in \mathbb{N}; l \geq \sqrt{m} \}$,

schreibe $k = qm + r$, $r \in \{0, 1, \dots, m-1\}$ (Div. mit Rest)

Ziel: Bestimme q, r .

Da $Q = kP = qmP + rP$, folgt $\underbrace{Q - rP}_{\text{"Baby step"}} = \underbrace{qmP}_{\text{"Giant step"}}$.

- 5.) Idee: Berechne alle möglichen Werte der l. g. = "Baby step" und nach und nach die möglichen Werte der r. g. = "Giant step". Trifft man auf eine Übereinstimmung, sind r und m gefunden.

- 6.) 1. Schritt: Berechne die Liste der "Babysteps" $B = \{(Q - rP, r), 0 \leq r \leq m^2\}$.
- 7.) 2. Schritt:
- Ist für eines der r die Glg. $Q - rP = 0$ erfüllt, ist $k = r$. ✓
 - Sonst teste für den ersten "Giantstep" $R = mP$,
 - ob R in der Babystepliste B schon vorkommt. Falls ja: $k = m + r$. ✓
 - Teste so alle "Giantsteps" $2R, 3R, 4R, \dots, (m-1)R$, ob diese in B vorkommen, wenn ja, gibt die 2. Komponente r mit $k = rm + r$. ✓

8.) Silver-Pohlig-Hellman-Verfahren:

Dieses Verfahren löst das DL-Problem in einer abelschen Gruppe G , wenn die Ordnung $m = \text{ord}(P)$ aus nur kleinen Primfaktoren p_i zusammengesetzt, d.h. glatt ist.

- 9.) Def.: Sei $B \in \mathbb{R}_{>0}$. Dann heißt $m \in \mathbb{N}$ B -glatt, falls $\forall p \mid m : p \in B$.
- 10.) Die Bestimmung von k in $\langle P \rangle$ wird auf Untergruppen von $\langle P \rangle$ der Ordnungen $p_i \mid m$ zurückgeführt.

Sei $\text{ord}(P) = m = \prod_{i=1}^t p_i^{\lambda_i}$ mit p_1, \dots, p_t p.w.v. prim, $\lambda_i \in \mathbb{N}$.

Der Algorithmus hat dann eine Laufzeit von $\underline{\underline{O\left(\sum_{i=1}^t (\lambda_i \log m + \sqrt{p_i})\right)}}$.

11.) Vorüberlegung:

- Zur Bestimmung von k mit $kP = Q \in \langle P \rangle$ berechnen wir alle Restklassen $k \bmod p_1^{\lambda_1}, k \bmod p_2^{\lambda_2}, \dots, k \bmod p_t^{\lambda_t}$. Denn laut CRS ist $\mathbb{Z}/m\mathbb{Z} \cong \mathbb{Z}/p_1^{\lambda_1}\mathbb{Z} \times \dots \times \mathbb{Z}/p_t^{\lambda_t}\mathbb{Z}$, so dass damit dann auch die Restklasse von $k \bmod m$ bestimmt werden kann.

- Betr. daher jedes $p = p_i$, $\lambda = \lambda_i$ mit $1 \leq i \leq t$.
Gesucht: $z \in \{0, \dots, p^{\lambda}-1\}$ mit $z \equiv k \bmod p^\lambda$. ($\rightsquigarrow z \equiv b \equiv z_0(p)$)

Schreibe $z = z_0 + z_1 p + \dots + z_{\lambda-n} p^{\lambda-n}$, die $z_i \in \{0, \dots, p-1\}$,

in der p -adischen Entwicklung; bestimme die $z_0, \dots, z_{\lambda-n}$.

- 12.) 1. Schritt: Sei $R := \frac{m}{p} \cdot P$, dann ist $\frac{m}{p} Q = \frac{m}{p} kP = kR$ und $pR = 0$.
Also ist $kR = zR = z_0 R$, d.h. $z_0 R = \frac{m}{p} \cdot Q$.

Somit muss man in der Unterguppe $\langle R \rangle$ der (kleinen) Ordnung p ein DL-Problem lösen, um z_0 zu bestimmen – etwa mit BSGS.

13.) 2. Schritt: Seien z_0, \dots, z_{j-1} schon (rekursiv) bestimmt, wo $j \leq \lambda-1$ ist.

Berechne dann $Q_j := \frac{m}{p^{j+1}}(Q - (z_0 + z_1 p + \dots + z_{j-1} p^{j-1})P)$.

Da $mP = 0$, ist $\frac{m}{p^{j+1}} \cdot p^j P = 0$, da $z \equiv k \pmod{p^j}$ ist $k = z + sp^j$, $s \in \mathbb{Z}$,

$$\text{also } \frac{m}{p^{j+1}} Q = \frac{m}{p^{j+1}} kP = \frac{m}{p^{j+1}} zP + \underbrace{\frac{m}{p^{j+1}} \cdot s p^j P}_{=0} = \frac{m}{p^{j+1}} zP$$

$$\text{und somit } Q_j = \frac{m}{p^{j+1}}(z_0 p^j + \dots + z_{j-1} p^{j-1})P = \frac{m}{p} z_j P = z_j R.$$

→ Zur Bestimmung von z_j ist wieder ein DL-Problem in der Untergruppe $\langle R \rangle$ der Ordnung p zu lösen – etwa mit BSGS.

14.) Bem.: Ist die Gruppenordnung glatt, ist der Algorithmus also sehr schnell.

4.1.2 Pollard-S und Pollard-λ

15.) Der Pollard-S-Algorithmus ist von der Laufzeit her vergleichbar mit BSGS, ist aber speicherplatztechnisch günstiger und lässt sich gut parallelisieren. Mit m Prozessoren wird der Algorithmus so um den Faktor m schneller.

16.) Der Pollard-λ-Algorithmus ist ähnlich, i.a. eher langsamer als Pollard-S. Er liefert gute Ergebnisse, wenn der diskrete Logarithmus k in einem hinreichend kleinen Intervall liegt. Auch Pollard-λ ist gut parallelisierbar.
(Die genannten Verfahren können in der Fachliteratur nachgeschlagen werden.)

4.1.3 MOV und SSSA

17.) Beim MOV-Verfahren [Autoren: Menezes, Okamoto, Vanstone] wird das DL-Problem für eine elliptische Kurve $E(\mathbb{F}_{p^r})$ auf das in der Gruppe $(\mathbb{F}_{p^r}^*, \cdot)$ für ein $l \geq 1$ zurückgeführt. Es ist also speziell nur für elliptische Kurvengruppen konstruiert, nicht für allgemeine abelsche Gruppen. Zeigt sich hier, dass $l \geq 1$ so wählbar ist, dass das DL-Problem in $(\mathbb{F}_{p^r}^*, \cdot)$ leicht, d.h. schnell, zu lösen ist, ist die elliptische Kurve kryptographisch ungeeignet, etwa wenn $m = \text{ord}(P)$ Teiler von $p^{rl} - 1$ ist.

V19 18) Generell lässt sich das DL-Problem in $(\mathbb{F}_{p^r}^*, \cdot)$ in subexponentieller Zeit schnell lösen (mit sogenannten Indexkalkül-Methoden), so dass Kurven, für die das DL-Problem auf ein schnelles in einem $(\mathbb{F}_{p^r}^*, \cdot)$ zurückgeführt werden kann, als kryptographisch schwach bzw. ungeeignet angesehen werden.
Das ist etwa bei supersingulären elliptischen Kurven der Fall, bei denen die Gruppenstruktur recht gut bekannt ist.

- 19.) Def.: Eine elliptische Kurve $E(\mathbb{F}_{p^r})$ heißt supersingulär, falls $p = \text{char}(\mathbb{F}_{p^r})$ die Spur des Frobenius teilt, d.h. $p \mid p^r + 1 - \#E(\mathbb{F}_{p^r})$.
- 20.) Bem.: Um zu testen, ob eine Kurve supersingulär und damit kryptographisch ungeeignet ist, muss die Gruppenordnung $\#E(\mathbb{F}_{p^r})$ der elliptischen Kurve bestimmt werden – typischerweise mit dem Schoof-Algorithmus.
• Der Begriff "supersingulär" hat nichts mit singulären Punkten zu tun: elliptische Kurven sind per Definition nicht-singulär.
- 21.) Bsp.: Die Kurve $E(\mathbb{F}_2)$: $y^2 + y = x^3 + x + 1$ ist supersingulär, da $E(\mathbb{F}_2) = \{O\}$.
- 22.) Bem.: Supersingularität bleibt bei Übergang zu einem Erweiterungskörper erhalten: Ist $E(\mathbb{F}_{p^r})$ supersingulär, dann auch $E(\mathbb{F}_{p^r})$ für alle $l \geq 1$.
[Ohne Bew.]
- 23.) 1. Kriterium für Supersingularität: Sei $p \geq 3$, $E(\mathbb{F}_p)$: $y^2 = x^3 + ax^2 + bx + c =: h(x)$ elliptische Kurve. Dann ist $E(\mathbb{F}_p)$ genau dann supersingulär, wenn der Koeffizient vor T^{p-1} in $h(T)^{\frac{p-1}{2}} \in \mathbb{F}_p[T]$ gleich 0 ist.
- 24.) 2. Kriterium für Supersingularität: Sei $p=2$, $E(\mathbb{F}_{2^r})$: $y^2 + a_1 xy + y = x^3 + a_2 x^2 + a_4 x + a_6$.
Dann ist $E(\mathbb{F}_{2^r})$ genau dann supersingulär, wenn $a_1 = 0$. [Ohne Bew.]
- 25.) Bsp.: s.o. 21.), und $E(\mathbb{F}_p)$: $y^2 = x^3 + x$ ist für $p \equiv 3(4)$ supersingulär.
Denn: $(T^3 + T)^{\frac{(p-1)}{2}} = \sum_{j=0}^{\frac{(p-1)}{2}} \binom{\frac{(p-1)}{2}}{j} T^{3j} + T^{\frac{(p-1)}{2}-j}$
mit $\frac{p-1}{2} + 2j = p-1 \Leftrightarrow 2j = \frac{p-1}{2}$, d.h. wenn $2 \mid \frac{p-1}{2} \Leftrightarrow p \equiv 1(4)$
→ Koeff. vor T^{p-1} ist $\binom{\frac{(p-1)}{2}}{\frac{(p-1)}{4}} \neq 0$ in \mathbb{F}_p .
Für $p \equiv 3(4)$ kommt T^{p-1} nicht vor → Koeff. = 0.]
- 26.) Bem.: Der MOV-Algorithmus nutzt bei einer supersingulären Kurve $E(\mathbb{F}_{p^r})$ aus, dass $t = p^r + 1 - \#E(\mathbb{F}_{p^r})$ nur einen der Werte $t \in \{0, \pm\sqrt{p^r}, \pm\sqrt{2p^r}, \pm\sqrt{3p^r}, \pm\sqrt{5p^r}\}$ annehmen kann.

- 27.) Beim SSSA-Verfahren [Autoren: Satoh, Smart, Semaev, Araki] handelt es sich um einen schnellen Algorithmus zur Lösung des DL-Problems auf anomalen elliptischen Kurven, welche deswegen kryptographisch ungeeignet sind. Die Grundidee ist, die elliptische Kurve über \mathbb{F}_p als eine über \mathbb{Q}_p zu betrachten, dem Körper der p -adischen Zahlen, und die Logarithmenberechnung auf eine Division in \mathbb{Z}_p zurückzuführen (was leicht ist).
- 28.) Def.: Eine elliptische Kurve $E(\mathbb{F}_p)$ heißt anomalous, wenn $\#E(\mathbb{F}_p) = p$ ist. Dies lässt sich wieder durch Bestimmung von $\#E(\mathbb{F}_p)$ mit dem Schoof-Algorithmus leicht überprüfen.
Der SSSA-Algorithmus kann auf Kurven über \mathbb{F}_{p^r} übertragen werden. Er hat polynomiale Laufzeit.

4.1.4 Fazit: geeignete elliptische Kurven und Vergleich mit anderen Public-Key-Verfahren

- 29.) Eine elliptische Kurve $E(\mathbb{F}_p): y^2 = x^3 + ax + b$ mit vorgegebener Bitzahl für p ist leicht zu finden – mit Zufallszahlengenerator und Primzahltest, was auch für große Zahlen mit mehreren hundert Decimalstellen schnell machbar ist; dazu kennt man ganz gute Algorithmen.
- 30.) Man wählt solange die Parameter p, a, b neu, bis die Diskriminante $4a^3 + 27b^2$ nicht durch p teilbar ist und somit eine elliptische Kurve vorliegt. Ziemlich sicher liegt dann eine kryptographisch geeignete Kurve vor. Das testet man nach Berechnen der Gruppenordnung $\#E(\mathbb{F}_p)$ mit dem Schoof-Algorithmus:
- 31.) • Ist $\#E(\mathbb{F}_p)$ glatt, d.h. hat $\#E(\mathbb{F}_p)$ nur kleine Primteiler, ist die Kurve ungeeignet wegen Silver-Pohlig-Hellman.
- Ist $\#E(\mathbb{F}_p) = p+1$, d.h. die Kurve supersingular, ist die Kurve ungeeignet (MOV).
- Ist $\#E(\mathbb{F}_p) = p$, d.h. die Kurve anomalous, ist die Kurve ungeeignet (SSSA).
- Ob die Kurve supersingular/anomalous ist, kann man ^{meist} leicht erkennen durch Wahl von Punkten $P \in E(\mathbb{F}_p)$ und dem Test, ob $(p+1)P = \mathcal{O}$ bzw. $pP = \mathcal{O}$ gilt.

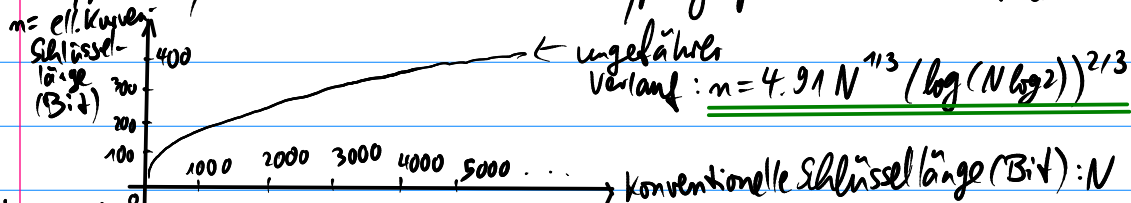
V19 32) Die Wahl eines Punktes P mit nicht zu kleiner Ordnung n muss dann gewährleistet werden. Speziell darf n kein Teiler von $p^{r^e} - 1$ sein, wenn das DL-Problem in $(\mathbb{F}_{p^r}^*, \cdot)$ leicht zu lösen ist, und n darf auch kein Vielfaches von p sein (wegen SSSA).

Auch sollte n nicht glatt sein; man wählt in der Praxis meist Punkte P , für die $n = \text{ord}(P)$ eine hinreichend große Primzahl ist; für sie sollte etwa $n > 2^{160}$ gelten.

33.) Die für allgemeine elliptische Kurven, die in diesem Sinne als kryptographisch sicher gelten, bekannte Implementationen des DL-Problems sind alle von exponentieller Komplexität. Ein Kryptographieverfahren wie ElGamal bzw. DSA gilt dann als kryptographisch sicher.

34.) Für konventionelle Kryptoverfahren (RSA und ElGamal / DSA auf $(\mathbb{F}_{p^r}^*, \cdot)$) gibt es subexponentielle Verfahren zur Lösung des DL-Problems.

Dieser Vergleich zeigt sich in der Wahl der Schlüssellängen (= Bitzahl der Größe des endl. Körpers) wieder: Die Schlüssellänge eines elliptischen Kurven-Systems wächst etwas schneller als die 3. Wurzel der Schlüssellänge eines konventionellen Krypto-Systems mit ähnlicher kryptographischer Sicherheit:



- 35.)
- Man geht davon aus, dass Kurven $E(\mathbb{F}_p)$ mit $p \approx 2^{173}$, wo $\# E(\mathbb{F}_p)$ einen Primteiler $\geq 2^{160}$ hat, die gleiche Sicherheit wie ein RSA-System mit 1024 Bit bietet (für 4096 Bit beim RSA nur etwa 313 bei EC-System!).
 - Durch die geringere Schlüssellänge bei Verfahren mit elliptischen Kurven kann man diese leicht auf Smart-Cards ohne Koprozessor implementieren. Solche Smart-Cards sind wesentlich billiger als Chip-Karten mit Koprozessor.

36.) Bedenken der elliptische Kurven-Kryptographie:

Die Nichteignung supersingulärer/anomaler Kurven kam schnell und überraschend. Es ist unklar, ob noch weitere ungeeignete Kurvenfamilien existieren und mit einem schnellen DL-Algorithmus angriffbar sind.